

中国科学院土木建筑工程研究所

地震工程研究报告集

第一集

科学出版社

內容簡介

本书包括关于地震工程的研究报告十三篇，共分三个部分：第一部分（四篇）为地震力理論問題，着重对地震力統計理論进行了評論和补充；第二部分（五篇）为工业与民用建筑的抗震問題，着重討論建筑物的自振特性及其測量方法；第三部分（四篇）为水工結構的抗震問題，推广运用了在工业与民用建筑中行之有效的动力分析方法。上述研究工作是中国科学院土木建筑研究所在 1958—1961 年期間完成的。

本书可供科学工作者、工程技术人员以及高等学校教师参考之用。

中国科学院土木建筑研究所

地震工程研究报告集

第一集

*

科学出版社出版 (北京朝阳门大街 117 号)
北京市书刊出版业营业許可證字第 061 号

中国科学院印刷厂印刷 新华书店总經售

*

1962 年 9 月第一版 书号：2602 字数：268,000
1962 年 9 月第一次印刷 开本：787×1092 1/16
(京) 0001—1,300 印张：11 3/4

定价：1.80 元

編者的話

地震工程問題的研究还是处于幼稚的阶段，人們对它进行認真的研究不过是最近三十年的事。无论对地震現象的觀測調查或者对地震作用与抗震措施的理論与实验研究都还不够广泛和深入，远远不能滿足工程設計的要求。我国有強烈地震活動的区域很廣闊，地震区的工程建設規模也日益扩大，进一步发展这門学科是很必要的。为了促进研究工作的发展和有助于文献資料的积累，現将本所自 1958 年大跃进以来沒有发表过的关于这个問題的研究报告編成此册，定名为“地震工程研究报告集第一集”；由于这方面的研究是长期性的，准备在今后不定期地廣續出版这样的文集。

本着百花齐放、百家爭鳴的方針，本文集不求統一的学术觀点，文集中的各篇報告都只代表作者們自己的意見。

編輯委員會

通 用 符 号

(一) 弹性力学及结构力学符号

坐标: $x, y, z; \xi, \eta, \zeta; \gamma, \theta, z.$
位移: $u, v, w.$
法线: N 或 $n.$
切线: T 或 $t.$
方向余弦: $l, m, n.$
长、高、宽、厚: $l, h, b, t.$
截面面积: $F.$
面积: $\Omega, S.$
体积: $V.$
惯性矩: $I, I.$
单位容重: $\rho.$
密度: $\rho/g.$
应力: $\sigma, \tau.$
应变: $\epsilon, \gamma.$
弹性模量: $E, G.$
泊桑比: $\nu.$
拉梅常数: $G, \lambda.$
力: $F.$
荷载: $P, p; Q, q.$
剪力: S (或 Q).
弯矩: $M.$
质量: $m, M.$
重量: $w, W.$
功: $W.$
能量: $E.$
位能: Π (或 U).
动能: K (或 T).
能量耗散系数: D (或 D).
刚度: $k, K; c, C.$
函数: $\Phi, \psi, \chi.$
系数: $\alpha, \beta, \gamma; a, b, c, d.$
常数: $c, K.$

(二) 地震工程学符号

频率: $f.$

圆频率: $\omega; \omega'$ (有阻尼).
周期: $T; T'$ (有阻尼).
时间: $t, \tau.$
阻尼系数: $\mu.$
阻尼比: $\varepsilon.$
对数衰减率: $\lambda.$
位移反应: $\delta.$
速度反应: $v.$
加速度反应: $a.$
位移反应谱: $\Delta(T).$
速度反应谱: $V(T).$
加速度反应谱: $A(T).$
振型次序: $i.$
质点次序: $i.$
广义坐标: $q.$
振型参与系数: $\eta.$
振型函数: $U(x, y, z), V(x, y, z), W(x, y, z).$
频率谱: $A(\omega).$
相角: $\theta, \phi.$

(三) 概率論符号

概率: $P\{\cdot\}.$
期望值: $E[\cdot].$
平均数: $\bar{M}.$
离散: $\bar{D}^2, D.$
标准差(均方差): $\sigma.$
相关函数: $B, R.$
功率谱: $S(\omega).$
传递函数: $\Phi.$

(四) 上指标与下指标

对坐标的微分:
对时间的微分:
地面: g 或 0
初始: 0

目 录

編者的話.....	(v)
通用符号.....	(vi)
引言.....	刘恢先(1)

第一部分

計算反應譜的一種簡便方法.....	王前信(3)
關於標準加速度反應譜問題.....	章在墉、居榮初、杜瑞明(12)
地震力統計理論的評介.....	胡聿賢、周錫元(21)
彈性體系在平穩和平穩化地面運動下的反應.....	胡聿賢、周錫元(33)

第二部分

單層厂房自振特性及其在地震反應計算中的應用.....	
王光遠、徐祥文、周錫元、肖光先(51)	
多層磚石房屋動力特性.....	尹之潛、王承春(76)
多層框架房屋動力特性.....	尹之潛、彭克中、周之德(102)
附：討論.....	徐祥文(115)
建築物脈動現象分析.....	尹之潛、彭克中(122)
填充牆框架承受側力的工作性質.....	彭克中、尹之潛(130)

第三部分

擋水壩地震荷載.....	劉恢先、王孝信(140)
在不規則地震作用下剛性壩面動水壓力的研討.....	王前信、王孝信(154)
伸臂梁在一側有水時的自振特性與地震荷載.....	王前信、王孝信(162)
水中圓柱體結構的自由振動.....	居榮初、黃振平、杜瑞明(173)

引　　言

刘　恢　先

抗地震结构的理论的发展经历过三个阶段。在最初的阶段，抗震理论是以地震宏观现象为基础，只有定性的概念，没有定量的方法。例如地震烈度的划分最初就是以宏观现象为尺度，缺乏数量的标志。在第二个阶段，人们认识到地面的水平加速度运动是重要的破坏因素；于是在烈度表中出现了加速度指标，在结构设计中流行着以地面最大加速度为防御对象的观念。从本世纪30年代开始以至今日可謂第三阶段，建立了以结构反应谱为中心的地震力理论。现在世界各国大都以反应谱作为结构计算的根据并企图在此基础上建立地震烈度的新标准。在今天看起来，以上的理论并不复杂，但在发展过程中都是每历数十年才跨进一步。这是由于地震不是经常发生的事情，发生的时候又很难取得真正有用的科学资料，因而理论与实际缺乏紧密的联系，妨碍了认识的深化。

以结构反应谱为中心的抗震理论含有两个根本的假定：第一，地震是强加于结构基础之上的加速运动，它决定于地震烈度而与结构本身性质无关；第二，结构是弹性体系，完全适用迭加原理。在此假定下，地面运动的特征和结构的特征被区分开来，分别进行研究，而通过“反应谱”的概念它们又被联结在一起。这个理论的提出充分利用了并且有力地促进了下列三方面的研究工作：(1)对强地震地面运动的仪器观测以及根据观测资料制定标准反应谱的工作；(2)各类建筑物在弹性阶段的振动特性的测定；(3)以反应谱为基础的结构动力分析。这些工作正在各国被广泛地研究着，但还没有达到完善的程度。

本文集汇集了中国科学院土木建筑研究所在1958—1961年期间进行的而尚未发表的若干研究工作。这些工作的目的在于从上述几方面来充实以反应谱为中心的抗震理论，使之更有实用意义。

第一部分包括关于地震力理论的四篇文章，除了提供一个计算反应谱的简便方法并对现行的标准反应谱作了一些比较分析以外，着重对地震力的统计理论进行了评论和补充。地震力的统计理论的提出已有十余年的历史，目前有两个学派在发展。一以美国G. W. Housner为代表，假定地震时的地面运动如同白噪声那样毫无规律；一以苏联M. Ф. Барштейн为代表，假定地面运动是一种平稳的各态历经的随机过程。文章的作者们批判了第一个学派，支持了第二个学派，并且作了某些改进，例如：在地面运动功率谱表示式中加入一个低频减量，使结构位移当频率无限降低时趋于有限；用平稳化的方法使结构瞬态反应接近于实际；利用单自由度体系的稳态反应来计算多自由度体系的稳态反应。

第二部分包括关于工业与民用建筑抗震问题的五篇文章，中心的问题是建筑物的自振特性。通过对实际建筑物的振动测验取得了关于多层砖石房屋、高层框架房屋、单层厂房几类在我国最为普遍的建筑的自振特性的数据，包括频率、阻尼和振动形式。值得注意的是无论哪类建筑在振动测验中都表现为空间结构，民用建筑中的楼板和单层厂房的屋

頂都起着水平联結的作用，使平面为狭长形的建筑物具有平板式的振型；此外，对于框架结构來說，填充墙的加劲作用不容忽視。在測量方法上，利用建筑物的脉动来了解它的自振特性看來是可取的方法；通过对脉动的觀測可以确定建筑物的基頻及其振型与阻尼，并有可能找出高次頻率。

第三部分包括关于水工結構抗震問題的四篇文章，推广运用了在工业与民用建筑中行之有效的反应譜理論。水工結構多属空間体系，同时承受动水压力，因此問題比較复杂。文集中对于简单的梁式平面結構取得了理論解答；对于复杂的空間結構則推荐一个半实验半理論的方法，就是用模型試驗确定結構的自振特性，然后用能量法来計算結構在地震作用下的反应。研究結果表明，水的影响主要表現为結構自振周期的增长（无异于結構慣性的增大），使地震荷載隨之增大。

必須指出，反应譜理論的弱点在于它所依据的根本假定不尽合乎实际情况；本文集的工作沒有离开这些根本假定，所以仅仅是这个理論的补充。真正要把抗震理論提高一步，使之更正确地反映客觀实际，还必須深入研究下列几个問題，进一步修正根本的假定。

（1）地面运动的特征。这是抗震理論的出发点，除了地面运动統計特征的研究应当繼續发展以外，还应当研究工程地質条件以及人工建筑物对于地面运动的影响。這項工作的前提是建立具有一定規模的強地震觀測网，积累地面运动的觀測資料。

（2）弹塑性体系在地震作用下的反应。对于工业与民用建筑來說，這項研究非常必要。地震是一种偶然性的荷載，我們容許建筑物在地震时蒙受一些局部的、非致命的損害，因此完全可以利用結構的塑性来耗散地震的能量，使結構得以保存。这方面的研究必然要涉及到材料与結構在塑性阶段的动力性能与非線性振动理論的研究，統計方法和能量方法将会找到重要的用途。在研究这个問題的时候，还应当把結構和地基看成一个整体，充分考慮地基情况对于結構性能的影响。

（3）应力波的传播理論。对于体形庞大如挡水坝的建筑物，简单地假定地震的作用相当于基础的振动是不够精确的。应当进一步研究地震波通过建筑物时所产生的应力波的性質与影响。这里涉及到应力波在复杂的介质与边界条件下的传播理論，是一个沒有很好开拓的領域。

（4）实际建筑物所受地震影响的仪器觀測与宏观調查。理論起源于实践，又回到实践，这是不易的道理；抗震結構的理論能否建立最后取决于它是否合乎客觀事实。因此对于实际地震所造成的对建筑物的損害进行觀測調查以检验理論的正确性是十分必要的。

（5）地震烈度的标准。“地震烈度”这个概念是地震地質、地震区域划分、抗震結構三門学科的交叉点。地質学家把地壳构造运动和烈度联系起来；地球物理学家按地震烈度划分地震区域；工程师根据地震烈度来制訂設防标准。所以地震烈度是一个重要的概念。但是这个概念迄今还是非常不明确。最初，地震烈度是以人的感觉、自然現象和建筑物的破坏情况来綜合描述；以后增加了一个最大地面加速度的指标；近年又提出了基于結構反应譜的若干建議。很明显，用人的感觉和自然界的宏观現象作为烈度的尺度是非常粗糙的，寻找一个合理的物理量作为烈度的标准十分必要。虽然各国学者在这方面已有許多建議，但远远沒找到成熟的答案，还值得大力进行研究。

笔者認為上述几个問題是当前抗震理論的几个基本問題，这些問題的解决，有待于这方面研究工作者的共同努力。

計算反應譜的一種簡便方法

王 前 信

提 要

本文提供了一個計算反應譜的簡便方法。無論計算位移譜、速度譜或是加速度譜，都利用同一形式的連鎖公式。公式是一個具有常系数的線性代數方程，使用十分簡便，因而具有工程实用的价值。

一、前 言

所謂反應譜就是單質點振子在地震作用下的最大反應和振子的自振周期或頻率之間的函數關係。有了反應譜，非但可以直接受算出單自由度建築物在地震作用下的反應，而且通過振型組合的方法可以估計多自由度建築物的反應。因此反應譜已經成為當前抗震建築設計的基礎，為各國工程界所通用。

如所周知，在地震作用下，單質點振子對於基礎的相對位移 $\delta(t)$ 為下列微分方程之解

$$\ddot{\delta} + 2\mu\dot{\delta} + \omega^2\delta = -\ddot{\delta}_g(t) \quad (1)$$

式中， μ 為阻尼系數； ω 為自振頻率； $\delta_g(t)$ 為地面位移。對於給定的地震，相對位移 $\delta(t)$ 的最大值 $\Delta = \Delta(\omega, \mu)$ ，稱為位移譜，相對速度 $v(t)$ 的最大值 $V = V(\omega, \mu)$ 為速度譜，絕對加速度的最大值 $A = A(\omega, \mu)$ 為加速度譜。

計算反應譜必須根據不同的 ω 和 μ 完成式(1)的積分，算出體系的反應過程，然後畫出其最大值與自振周期（或頻率）的關係曲線。這是相當繁重的計算工作。前人已經提出許多計算反應譜的方法，包括機械模擬、電模擬和數值計算方法，但已有的方法往往失之於不夠精確或者需要現代化計算工具，不能廣泛地採用。本文提供一種數值計算方法，其基本概念是從反應曲線上前二時段的反應值來推算緊隨的後一時段的反應值，使計算能夠連鎖進行。看來這個方法簡而易行，不需特殊工具，具有實用的意義。

二、求解途徑概述

地面運動的加速度記錄可以看成是由一系列的變化頻繁的曲折線段所組成（圖1），為了研究在複雜的 $a(t)$ 作用之下所引起的反應，我們宜於先研究在陰影部分作用之下所引起的反應而后再作進一步的處理。

陰影部分可割取開來並放大於圖2a所示。當地震記錄 $a(t)$ 為定時，對於一定的時程 t_1 和 t_2 ，根據振動力學的基本原理，易于導得關係式

$$\left. \begin{array}{l} \delta_2 = \delta_2(\delta_1, v_1) \\ v_2 = v_2(\delta_1, v_1) \end{array} \right\} \quad (2)$$

式中, δ_i 和 v_i 表示时程为 t_i 时的相对位移和相对速度。式(2)是简单的线性代数方程。

仿照式(2)一样, 参照图 2b, 可以导得

$$\left. \begin{aligned} \delta_3 &= \delta_3(\delta_2, v_2), \\ v_3 &= v_3(\delta_2, v_2). \end{aligned} \right\} \quad (3)$$

于是, 自式(2)和(3)的第一式消去 v_1 和 v_2 可得

$$\delta_3 = \delta_3(\delta_1, \delta_2). \quad (4)$$

自式(2)和(3)的第二式消去 δ_1 和 δ_2 可得

$$v_3 = v_3(v_1, v_2). \quad (5)$$

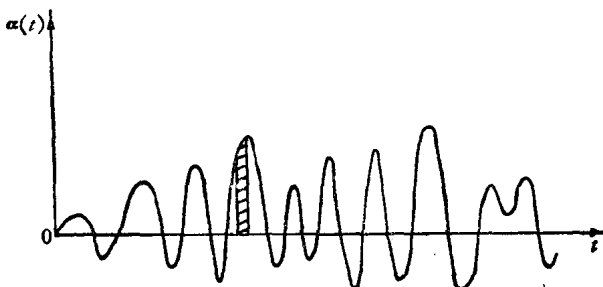


图 1

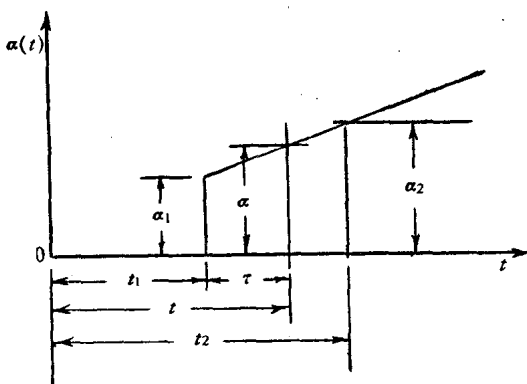


图 2a

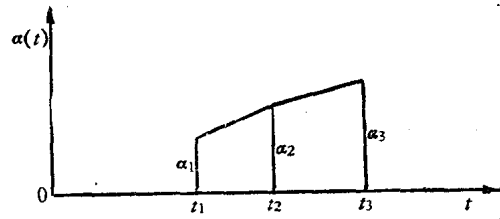


图 2b

式(4)中仅有位移, 式(5)中仅有速度, 二者分别独立, 计算时互不相涉。这两个式子都是简单的线性代数方程, 十分便于连锁计算, 其优越性是明显的。

将式(4)和(5)作简单的代数组合, 易于给出绝对加速度的连锁计算公式

$$\alpha_3 = \alpha_3(\alpha_1, \alpha_2). \quad (6)$$

三、基本公式的导演

为了表述方便起见, 我们将式(1)写成下列形式

$$\ddot{\delta} + 2\mu\dot{\delta} + \omega^2\delta = \alpha(t). \quad (7)^*$$

图 2a 中坡线的方程应为

$$\alpha = \alpha_1 + \left(\frac{\alpha_2 - \alpha_1}{t_2 - t_1} \right) (t - t_1) = \alpha_1 \left(1 - \frac{\tau}{t_2 - t_1} \right) + \alpha_2 \left(\frac{\tau}{t_2 - t_1} \right). \quad (8)$$

根据条件 $\delta_{t=t_1} = \delta_1$, $\dot{\delta}_{t=t_1} = v_1$, 自式(7)可以解得

$$\begin{aligned} \delta(\tau) &= \delta_1 e^{-\mu\tau} \left(\cos \omega' \tau + \frac{\mu}{\omega'} \sin \omega' \tau \right) + v_1 \frac{e^{-\mu\tau}}{\omega'} \sin \omega' \tau + \\ &\quad + \alpha_1 \left(\frac{1}{\omega'^2} \left[1 + \frac{2\mu}{\omega'^2(t_2 - t_1)} \right] - \frac{\tau}{\omega'^2(t_2 - t_1)} - e^{-\mu\tau} \left\{ \frac{1}{\omega'^2} \left[1 + \frac{2\mu}{\omega'^2(t_2 - t_1)} \right] \cos \omega' \tau + \right. \right. \end{aligned}$$

* $\alpha = -\ddot{\delta}_g$, 为地面加速度的负值, 由于地震可来自任何方向, 故此负号一般可不予考虑, 但应注意绝对加速度 $a = \dot{\delta} + \dot{\delta}_g = \dot{\delta} - \alpha$.

$$+ \frac{1}{\omega' \omega^2} \left[\mu - \frac{\omega'^2 - \mu^2}{\omega^2(t_2 - t_1)} \right] \sin \omega' \tau \Big\} \Big) + \alpha_2 \left(\frac{\tau}{\omega^2(t_2 - t_1)} - \frac{2\mu}{\omega^4(t_2 - t_1)} + \right. \\ \left. + e^{-\mu\tau} \left\{ \frac{2\mu}{\omega^4(t_2 - t_1)} \cos \omega' \tau - \frac{\omega'^2 - \mu^2}{\omega' \omega^4(t_2 - t_1)} \sin \omega' \tau \right\} \right), \quad (9)$$

式中

$$\omega'^2 = \omega^2 - \mu^2, \quad (10)$$

ω' 为有阻尼时的自振频率。

现将 $t = t_2$ 或 $\tau = t_2 - t_1$ 代入式(9)并令

$$\varepsilon = \frac{\mu}{\omega'}, \quad (11)$$

$$z = \omega'(t_2 - t_1), \quad (12)$$

$$\bar{\delta} = \omega'^2 \delta, \quad \bar{v} = \omega' v, \quad (13)$$

便有

$$\bar{\delta}_2 = \bar{\delta}_1 C + \bar{v}_1 D + \alpha_1 E + \alpha_2 F, \quad (14)$$

式中

$$\left. \begin{aligned} C(z) &= e^{-\varepsilon z} (\cos z + \varepsilon \sin z), \\ D(z) &= e^{-\varepsilon z} \sin z, \\ E(z) &= \frac{1}{(1 + \varepsilon^2)^2} \left(\frac{2\varepsilon}{z} - e^{-\varepsilon z} \left\{ \left(1 + \varepsilon^2 + \frac{2\varepsilon}{z} \right) \cos z + \right. \right. \\ &\quad \left. \left. + \left[\varepsilon (1 + \varepsilon^2) - \frac{1 - \varepsilon^2}{z} \right] \sin z \right\} \right), \\ F(z) &= \frac{1}{(1 + \varepsilon^2)^2} \left[\left(1 + \varepsilon^2 - \frac{2\varepsilon}{z} \right) + e^{-\varepsilon z} \left(\frac{2\varepsilon}{z} \cos z - \frac{1 - \varepsilon^2}{z} \sin z \right) \right]. \end{aligned} \right\} \quad (15)$$

自式(9)可进一步导得

$$\begin{aligned} v(\tau) &= \delta_1 \left[-\frac{\omega^2}{\omega'} e^{-\mu\tau} \sin \omega' \tau \right] + v_1 \left[e^{-\mu\tau} \left(\cos \omega' \tau - \frac{\mu}{\omega'} \sin \omega' \tau \right) \right] + \\ &\quad + \alpha_1 \left\{ -\frac{1}{\omega^2(t_2 - t_1)} + e^{-\mu\tau} \left[\frac{1}{\omega^2(t_2 - t_1)} \cos \omega' \tau + \right. \right. \\ &\quad \left. \left. + \frac{1}{\omega'} \left(1 + \frac{\mu}{\omega^2(t_2 - t_1)} \right) \sin \omega' \tau \right] \right\} + \alpha_2 \left\{ \frac{1}{\omega^2(t_2 - t_1)} - \right. \\ &\quad \left. - e^{-\mu\tau} \left[\frac{1}{\omega^2(t_2 - t_1)} \cos \omega' \tau + \frac{\mu}{\omega' \omega^2(t_2 - t_1)} \sin \omega' \tau \right] \right\}. \end{aligned} \quad (16)$$

将 $\tau = t_2 - t_1$ 代入式(16)可得

$$\bar{v}_2 = \bar{\delta}_1 G + \bar{v}_1 H + \alpha_1 I + \alpha_2 J, \quad (17)$$

式中

$$\left. \begin{aligned} G(z) &= -(1 + \varepsilon^2) e^{-\varepsilon z} \sin z, \\ H(z) &= e^{-\varepsilon z} (\cos z - \varepsilon \sin z), \\ I(z) &= \frac{1}{1 + \varepsilon^2} \left\{ -\frac{1}{z} + e^{-\varepsilon z} \left[\frac{1}{z} \cos z + \left(1 + \varepsilon^2 + \frac{\varepsilon}{z} \right) \sin z \right] \right\}, \\ J(z) &= \frac{1}{(1 + \varepsilon^2)z} [1 - e^{-\varepsilon z} (\cos z + \varepsilon \sin z)]. \end{aligned} \right\} \quad (18)$$

倘我們沿时程將地面加速度記錄分成許多如图 1 中阴影部分的梯形小块，則根据各段不同的 z 值，利用式(14)和(17)，可以逐段算得位移和速度的反应。可是，这样的程序是繁琐的，因为各段的 C, D, G, H, \dots 等函数值也不同，計算位移时不得不涉及速度，計算速度时不得不涉及位移，而且加速度反应还不能直接算得。因此，我們还要进一步作必要的簡化处理。

四、进一步的簡化处理

今設 $z_2 = \omega'(t_3 - t_2)$ ，仿照式(14)可写出

$$\bar{\delta}_3 = \bar{\delta}_2 C_2 + \bar{v}_2 D_2 + \alpha_2 E_2 + \alpha_3 F_2, \quad (19)$$

将式(14)和(17)中的 C, D, \dots, G, H 等函数加上脚标“1”，自式(14)，(17)和(19)中消去 \bar{v}_1, \bar{v}_2 便可得到

$$\begin{aligned} \bar{\delta}_3 = D_2 & \left[\bar{\delta}_1 \left(\frac{D_1 G_1 - C_1 H_1}{D_1} \right) + \bar{\delta}_2 \left(\frac{H_1 + C_2}{D_1} \right) + \alpha_1 \left(\frac{D_1 I_1 - E_1 H_1}{D_1} \right) + \right. \\ & \left. + \alpha_2 \left(\frac{D_1 J_1 - F_1 H_1}{D_1} + \frac{E_2}{D_2} \right) + \alpha_3 \left(\frac{F_2}{D_2} \right) \right]. \end{aligned} \quad (20)$$

式(20)不包含速度，只具有位移，可由前两点的反应推算紧随的第三点的反应，故十分便于連鎖計算。实际上我們可沿时程將梯形小块的底寬取为等值(图 2b)， $z_1 = z_2 = z$ ，这样以来，式(20)就将簡化甚多(可将 $C_1, G_1, \dots, D_2, H_2, \dots$ 等函数的不同脚标除去)，下面把它写成簡洁的一般形式

$$\bar{\delta}_i = \bar{\delta}_{i-2} \Phi + \bar{\delta}_{i-1} \Psi + \alpha_{i-2} L_\delta + \alpha_{i-1} M_\delta + \alpha_i N_\delta \quad (21)$$

式中

$$\begin{aligned} \Phi &= DG - CH, \\ \Psi &= H + C, \end{aligned} \quad \left. \right\} \quad (22)$$

$$\begin{aligned} L_\delta &= DI - EH, \\ M_\delta &= DJ - FH + E, \\ N_\delta &= F. \end{aligned} \quad \left. \right\} \quad (23)$$

式(21)不适用于計算起始二点的位移(δ_0 和 δ_1)，但一般常取为 $\delta_0 = v_0 = 0$ ，故

$$\begin{aligned} \bar{\delta}_0 &= 0, \\ \bar{v}_0 &= 0. \end{aligned} \quad \left. \right\} \quad (24)$$

又根据式(14)

$$\bar{\delta}_1 = \alpha_0 K_\delta + \alpha_1 N_\delta, \quad (25)$$

式中

$$K_\delta = E. \quad (26)$$

仿此我們可以导出速度的連鎖公式。对于各时段不等的情形，相当于式(20)有

$$\begin{aligned} \bar{v}_3 = G_2 & \left[\bar{v}_1 \left(\frac{D_1 G_1 - C_1 H_1}{G_1} \right) + \bar{v}_2 \left(\frac{C_1 + H_2}{G_1} \right) + \alpha_1 \left(\frac{E_1 G_1 - C_1 I_1}{G_1} \right) + \right. \\ & \left. + \alpha_2 \left(\frac{F_1 G_1 - C_1 J_1}{G_1} + \frac{I_2}{G_2} \right) + \alpha_3 \left(\frac{J_2}{G_2} \right) \right]. \end{aligned} \quad (27)$$

对于各时段相等的情形，相当于式(21)有

$$\bar{v}_i = \bar{v}_{i-2} \Phi + \bar{v}_{i-1} \Psi + \alpha_{i-2} L_v + \alpha_{i-1} M_v + \alpha_i N_v \quad (28)$$

式中

$$\left. \begin{array}{l} L_v = EG - CI, \\ M_v = FG - CJ + I, \\ N_v = J, \end{array} \right\} \quad (29)$$

Φ, Ψ 仍如式(22)所表。相当于式(25)有

$$\bar{v}_1 = \alpha_0 K_v + \alpha_1 N_v, \quad (30)$$

式中

$$K_v = I. \quad (31)$$

参照关系式

$$a = \ddot{\delta} - \alpha = -2\varepsilon\bar{v} - (1 + \varepsilon^2)\bar{\delta}, \quad (32)$$

将位移和速度的連鎖公式線性組合可得絕對加速度的連鎖公式为

$$a_i = a_{i-2}\Phi + a_{i-1}\Psi + a_{i-2}L_a + a_{i-1}M_a + a_iN_a, \quad (33)$$

式中

$$\left. \begin{array}{l} L_a = -2\varepsilon L_v - (1 + \varepsilon^2)L_\delta, \\ M_a = -2\varepsilon M_v - (1 + \varepsilon^2)M_\delta, \\ N_a = -2\varepsilon N_v - (1 + \varepsilon^2)N_\delta, \end{array} \right\} \quad (34)$$

Φ 和 Ψ 仍如式(22)所示。还有

$$a_0 = -2\varepsilon\bar{v}_0 - (1 + \varepsilon^2)\bar{\delta}_0 = 0, \quad (35)$$

$$a_1 = \alpha_0 K_a + \alpha_1 N_a, \quad (36)$$

式(36)中

$$K_a = -2\varepsilon K_v - (1 + \varepsilon^2)K_\delta. \quad (37)$$

綜合以上的結果，可將各種反應（位移、速度和加速度）的連鎖計算公式寫成如下的統一形式

$$\left. \begin{array}{l} r_0 = 0, \\ r_1 = \alpha_0 K_r + \alpha_1 N_r, \\ r_i = r_{i-2}\Phi + r_{i-1}\Psi + r_{i-2}L_r + r_{i-1}M_r + r_iN_r, \quad (i = 2, 3, \dots). \end{array} \right\} \quad (38)$$

式(38)中的函數 Φ, Ψ 對於各種反應皆同， K_r, L_r, M_r, N_r 因反應的類別而異。

五、函數表。計算实例

在無阻尼情況下， $\varepsilon = 0$ ，以上所列舉的各函數具有十分簡單的形式，現將其與連鎖公式並寫在一起，而不必另制函數表。

相對位移：

$$\left. \begin{array}{l} \bar{\delta}_0 = 0, \\ \bar{\delta}_1 = \left(\frac{\sin z}{z} - \cos z \right) \alpha_0 + \left(1 - \frac{\sin z}{z} \right) \alpha_1, \\ \bar{\delta}_i = -\bar{\delta}_{i-2} + 2 \cos z \cdot \bar{\delta}_{i-1} + \left(1 - \frac{\sin z}{z} \right) \alpha_{i-2} + \\ \quad + 2 \left(\frac{\sin z}{z} - \cos z \right) \alpha_{i-1} + \left(1 - \frac{\sin z}{z} \right) \alpha_i. \quad (i = 2, 3, \dots) \end{array} \right\} \quad (39)$$

相對速度：

$$\left. \begin{aligned} \bar{v}_0 &= 0, \\ \bar{v}_1 &= \left(\sin z + \frac{\cos z - 1}{z} \right) \alpha_0 + \left(\frac{1}{z} - \frac{\cos z}{z} \right) \alpha_1, \\ \bar{v}_i &= -\bar{v}_{i-2} + 2 \cos z \cdot \bar{v}_{i-1} + \left(\frac{\cos z}{z} - \frac{1}{z} \right) \alpha_{i-2} + \left(\frac{1}{z} - \frac{\cos z}{z} \right) \alpha_i \quad (i = 2, 3, \dots). \end{aligned} \right\} \quad (40)$$

絕對加速度：計算公式同式(39)，只須將 $\bar{\delta}$ 以 $-a$ 代之即可。

由于地面运动变化很頻繁，故 $\Delta t = t_i - t_{i-1}$ 的选择应以加速度記錄的变化頻度为依据。 Δt 选择为 $0.02 \sim 0.04$ 秒是适宜的，因为过大則梯形小块所組成的折線图形与实际記錄相差太远，过小則使計算量大增。現将对数衰減率 $\lambda = 0.5$ 时各函数值列于表 1 中，这时 $\epsilon = \frac{\lambda}{2\pi} = \frac{1}{4\pi}$ 。表中列举的自振周期是一些比較具有代表性的数值。

下面結合一个算例來說明地震反应的具体計算方法。

[例] 設 $T = 0.25$ 秒， $\lambda = 0.5$ ，試求图 3 所示地震(加速度記錄)作用下的反应。

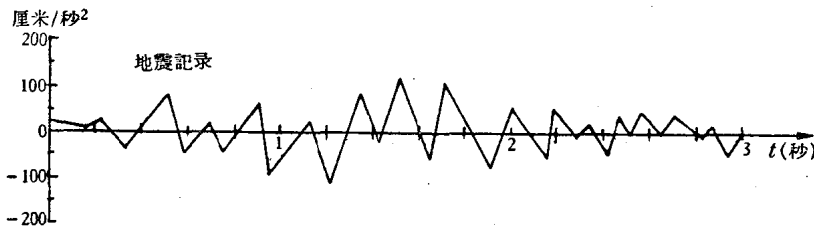


图 3 地震记录 $\alpha(t)$

[解] 取 $\Delta t = 0.02$ 秒，查表可得

$$\begin{aligned} K_\delta &= 0.07970, & L_\delta &= 0.03916, \\ M_\delta &= 0.15780, & N_\delta &= 0.04076, \\ \Phi &= -0.92312, & \Psi &= 1.68389. \end{aligned}$$

根据式(24)及(25)

$\bar{\delta}_0 = 0$, $\bar{\delta}_1 = 16.5 \times 0.07970 + 14.6 \times 0.04076 = 1.910$ 厘米/秒², $\bar{\delta}_2, \bar{\delta}_3, \dots$ 等的計算程序如表 2 所列，表中的 α_i 是根据地震記錄量得的。計算結果描繪如图 4 所示。

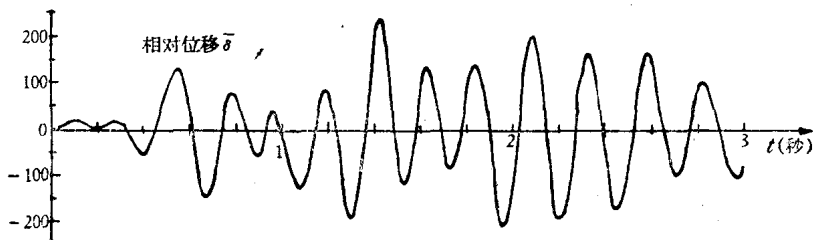


图 4 相对位移 $\bar{\delta}$

\bar{v}_i 与 a_i 的求解程序与 $\bar{\delta}_i$ 相仿，从略，仅給出結果如图 5 和 6 所示。如图可見， $\bar{\delta}, \bar{v}$ 和 a 的絕對最大反应值是近似相等的，这与工程地震学中經常引用的关系式

$$\omega'^2 \Delta \approx \omega' V \approx A \quad (41)$$

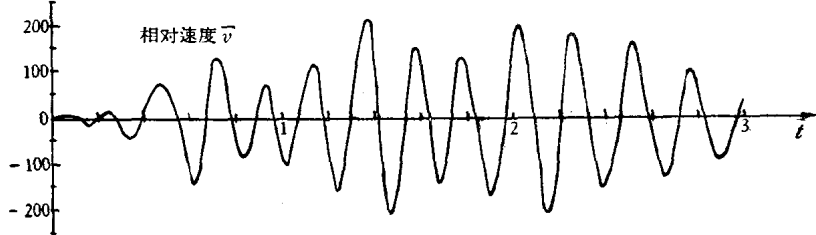
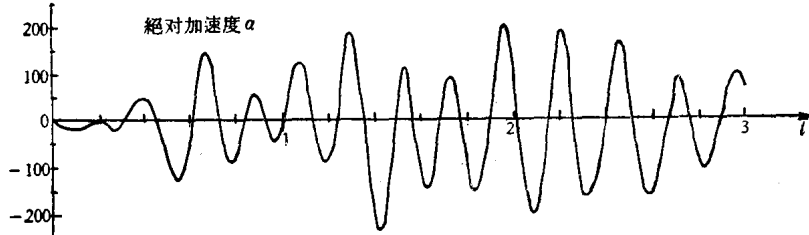
是相符的。

表 1 Φ, Ψ, L, M, N 和 K 函數表 ($\lambda = 0.5, \Delta' = 0.02$ 秒)

T (秒)	0.10	0.15	0.20	0.25	0.40	0.50	0.60	0.80	1.00	1.40	2.00
s	$2\pi/5$	$4\pi/15$	$\pi/5$	$4\pi/25$	$\pi/10$	$2\pi/25$	$\pi/15$	$\pi/20$	$\pi/25$	$\pi/35$	$\pi/50$
Φ	$DG - CH$	-0.81873	-0.87517	-0.90484	-0.92312	-0.95123	-0.96079	-0.96722	-0.97531	-0.98020	-0.98582
Ψ	$H + C$	0.55922	1.25195	1.53912	1.68389	1.85515	1.89881	1.92396	1.95084	1.96449	1.97777
L	$DI - EH$	0.20907	0.10216	0.05984	0.03916	0.01577	0.01018	0.00712	0.00403	0.00259	0.00133
M	$DI - FH + E$	0.81083	0.40785	0.24064	0.15780	0.06354	0.04102	0.02863	0.01620	0.01041	0.00532
N	$N_\delta = F$	0.23168	0.10929	0.06293	0.04076	0.01617	0.01039	0.00724	0.00408	0.00262	0.00134
K	$K_\delta = E$	0.41613	0.20741	0.12184	0.07970	0.03197	0.02061	0.01438	0.00813	0.00522	0.00267
L	$EG - CI$	-0.48047	-0.36121	-0.28431	-0.23329	-0.15068	-0.12171	-0.10205	-0.07708	-0.06192	-0.04442
M	$FG - CJ + I$	-0.03504	-0.01682	-0.00977	-0.00636	-0.00254	-0.00164	-0.00114	-0.00065	-0.00042	-0.00022
N	$N_\psi = I$	0.51551	0.37803	0.29408	0.23964	0.15322	0.12335	0.10319	0.07773	0.06233	0.04464
K	$K_\psi = I$	0.34504	0.31719	0.26504	0.22322	0.14817	0.12041	0.10129	0.07676	0.06175	0.04436
L	見式(34)	-0.13393	-0.04530	-0.01497	-0.00228	0.00812	0.00912	0.00938	0.00821	0.00725	0.00573
M	見式(34)	-0.81039	-0.40776	-0.24061	-0.15779	-0.06354	-0.04102	-0.02863	-0.01620	-0.01041	-0.00532
N	見式(34)	0.31519	-0.17015	-0.11014	-0.07916	-0.04066	-0.03009	-0.02370	-0.01648	-0.01256	-0.00846
K	見式(37)	-0.47368	-0.25920	-0.16480	-0.11573	-0.05575	-0.03991	-0.03059	-0.02040	-0.01508	-0.00974

表2 δ_i 的求解程序表

(1)	i	0	1	2	3	4	5	6	7	8
(2)	α_i (厘米/秒 ²)	16.5	14.6	13.0	11.0	9.1	6.9	5.1	5.0	11.2
(3)	0.03916 α_{i-2}	—	—	0.646	0.572	0.509	0.431	0.356	0.270	0.200
(4)	0.15780 α_{i-1}	—	—	2.304	2.051	1.736	1.436	1.089	0.805	0.789
(5)	0.04076 α_i	—	—	0.530	0.448	0.371	0.280	0.208	0.204	0.457
(6)	Σ	—	—	3.480	3.071	2.616	2.148	1.653	1.279	1.446
(7)	-0.92312 $\bar{\delta}_{i-2}$	—	—	0	-1.763	-6.181	-11.616	-16.268	-18.653	-17.919
(8)	1.68389 $\bar{\delta}_{i-1}$	—	—	3.216	11.275	21.188	29.675	34.026	32.686	25.784
(9)	$\Sigma = \bar{\delta}_i$ (厘米/秒 ²)	0	1.910	6.696	12.583	17.623	20.207	19.411	15.312	9.311
(10)	δ_i (毫米)	0	0.030	0.106	0.199	0.279	0.320	0.307	0.242	0.147

图5 相对速度 \bar{v} 图6 绝对加速度 a

附录. 公式(9)和(16)的推导

根据拉普拉斯变换的基本关系式

$$\left. \begin{aligned} \mathcal{L}\ddot{\delta}(\tau) &= p^2 \left[\Delta(p) - \delta_{\tau=0} - \frac{1}{p} \dot{\delta}_{\tau=0} \right] = p^2 \left[\Delta(p) - \delta_1 - \frac{v_1}{p} \right] \\ \mathcal{L}\dot{\delta}(\tau) &= p[\Delta(p) - \delta_{\tau=0}] = p[\Delta(p) - \delta_1] \\ \mathcal{L}\delta(\tau) &= \Delta(p) \end{aligned} \right\} \quad (42)$$

和

$$\mathcal{L}\alpha(\tau) = \alpha_1 \left[1 - \frac{1}{p(t_2 - t_1)} \right] + \alpha_2 \left[\frac{1}{p(t_2 - t_1)} \right] \quad (43)$$

将式(7)按式(42), (43)进行变换后, 可解得

$$\begin{aligned} \Delta(p) &= \left[1 - \frac{\omega^2}{\theta(p)} \right] \delta_1 + \frac{p}{\theta(p)} v_1 + \frac{1}{\omega^2(t_2 - t_1)} \left[\frac{p + 2\mu + \omega^2(t_2 - t_1)}{\theta(p)} - \frac{1}{p} \right] \alpha_1 + \\ &\quad + \frac{1}{\omega^2(t_2 - t_1)} \left[\frac{1}{p} - \frac{p + 2\mu}{\theta(p)} \right] \alpha_2 \end{aligned} \quad (44)$$

式中

$$\theta(p) = p^2 + 2\mu p + \omega^2 \quad (45)$$

于是, 将 $\Delta(p)$ 反变换后可得式(9).

根据式(42)的第二式

$$\begin{aligned} \mathcal{L}\dot{\delta}(\tau) &= p[\Delta(p) - \delta_1] = \left[-\frac{\omega^2 p}{\theta(p)} \right] \delta_1 + \left[1 - \frac{2\mu p + \omega^2}{\theta(p)} \right] v_1 + \\ &\quad + \left[\frac{p(t_2 - t_1) - 1}{(t_2 - t_1) \cdot \theta(p)} \right] \alpha_1 + \left[\frac{1}{(t_2 - t_1) \cdot \theta(p)} \right] \alpha_2 \end{aligned} \quad (46)$$

将式(46)进行反变换后可得式(16).

参 考 文 献

- [1] C. B. Медведев: Статьи по вопросам инженерной сейсмологии, Труды Геофизического Института, СССР, № 36 (163), 1956.
- [2] L. S. Jacobsen: On a General Method of Solving Second Order Ordinary Differential Equations by Phase-Plane Displacements, J. Appl. Mech. Dec. 1952.
- [3] И. М. Рабинович: Геометрическое представление движения упругой системы с одной степенью свободы с учетом затухания (Исследования по теории сооружений), 1954.
- [4] 王前信: 关于单自由度系統強迫振动的矢量图解計算法的一般概念和矢量图的一些性质, 土木工程学报, 第5卷, 第3期, 1958.
- [5] M. A. Biot: A Mechanical Analyzer for the Prediction of Earthquake Stresses, BSSA, 31, No. 2, 1941.
- [6] G. W. Housner, R. R. Martel, J. L. Alford: Spectrum Analysis of Strong-Motion Earthquake, BSSA, 43, No. 2, 1953.

关于标准加速度反应譜問題

章在墉 居榮初 杜瑞明

提 要

本文对各国建筑規范中为了計算地震荷載所采用的加速度反应譜以及若干研究者的建議进行了比較和分析，認為苏联麦德維捷夫(С. В. Медведев)所提供的結果較為系統，并接近于实际；本文在他的工作的基础上，进一步根据某些文献資料作了若干修改。

自从比阿(M. A. Biot)提出加速度反应譜的概念以来，許多研究者都相繼地为計算地震荷載所采用的标准加速度反应譜提出了各自的論点。总括起来，可以認為所有的标准加速度反应譜都是以下列几个假定为出发点：

1. 作为描述結構反应的单自由度体系只是从自振周期及阻尼参数两方面来模拟，至于其它的結構因素都是被忽視了的。因此不論結構型式如何，只要它們的周期和阻尼相同，则其动力系数 β 就相同。

2. 可以把反应譜值分离为两个独立变量(根据地震区域划分图上的烈度系数 K_c 及結構动力系数 β)的乘积。因此，对应于不同地震烈度的反应譜就沒有形状上的不同，而只有数值上的差別。

3. 区域土質条件对反应譜的影响是不加考慮的，所以与某一地震烈度相应的反应譜可以适用于同样烈度的任何地震区的結構設計。

实际上影响反应譜的因素很多，有些还待进一步查明。而在选择标准反应譜的方法上尚存在着不同的觀点。此外，通过对目前各国現行設計規范及某些研究者所提出的数数据的比較和分析，还可以看出，加速度反应譜在絕對量值上还存在着很大的差异。

一、各种地震荷載計算公式的比較

目前各国在实际設計中采用的地震荷載計算公式，尽管形式不同，但都采用了加速度反应譜的概念。所有这些計算公式只要稍加轉換就可以归納为表 1 所列的統一的形式。

表 1 所列計算公式的方括号中的量，具有統一的物理意义，它是一个周期与結構物的基本周期(或相应于其他振型的周期)相同而阻尼也相同的单自由度体系在地震作用下的最大加速度反应值与重力加速度的比值，是該体系的周期和阻尼的函数。当阻尼为一定时，则这个最大反应值与周期的函数关系就是結構反应的加速度反应譜，在数值上等于最大地面运动加速度对重力加速度的比值与結構动力系数(或称为放大率)的乘积。根据文献資料，加速度反应譜都接近于双曲綫的形式，其数值随着地震烈度的提高和阻尼的減小而增大。但各国現行的建筑規范所采用的及某些研究者所提出的加速度反应譜都在絕對量值上存在着很大的差异，这可以从表 2 的數值比較中看出来。虽然表中所列的加速度